





стей (пиков возвышенностей) ~0,85; 0,65; 0,16 мкм (варианты 4; 5; 6) по сравнению с исходной величиной (~3,63 мкм).

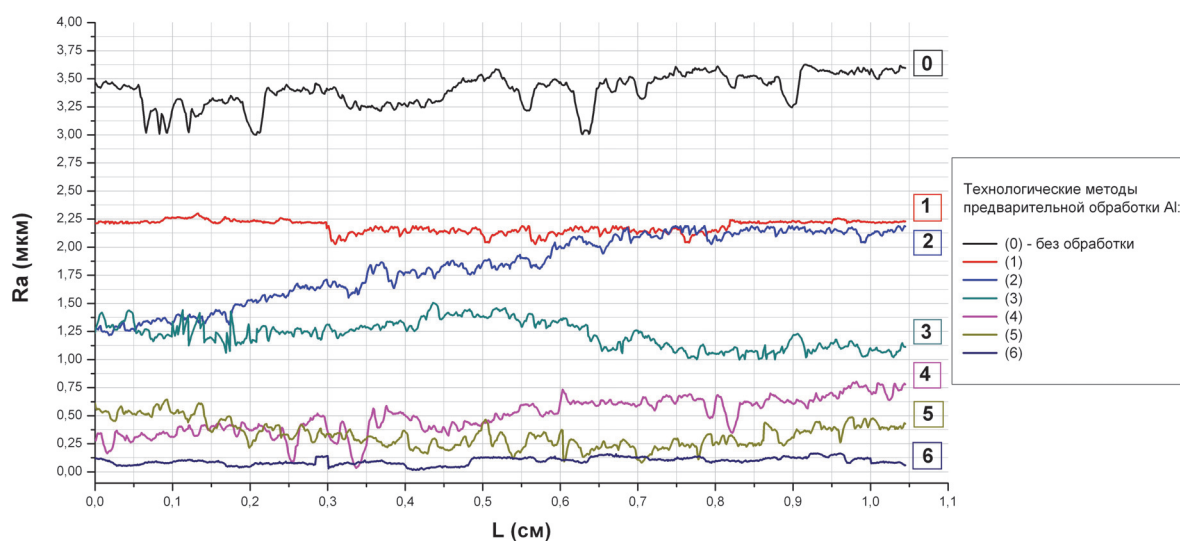


Рис. 2. Сравнительная оценка влияния технологических методов предварительной обработки Al-сплавов (АМг-2) на степень шероховатости поверхности Ra.

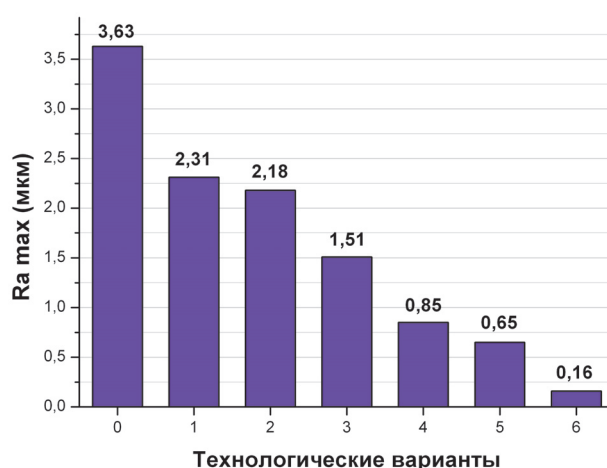


Рис. 3. Гистограмма максимальных значений микрорельефа поверхности  $Ra_{max}$  экспериментальных образцов (АМг-2) после обработки.

#### СПИСОК ЛИТЕРАТУРЫ

1. Шиманович Д.Л., Сокол В.А. Локальное толстослойное анодирование алюминия и анализ бокового ухода при различных методах маскирования // *Фундаментальные проблемы радиоэлектронного приборостроения*. – 2014. – Т. 14. – № 3. – С. 163-165.
2. Шиманович Д.Л. Методы создания встроенных алюминиевых коммутационных элементов в объеме свободных анодных  $Al_2O_3$ -оснований // *Фундаментальные проблемы радиоэлектронного приборостроения*. – 2013. – Т. 13. – № 3. – С. 186-189.
3. Шиманович Д.Л., Сокол В.А., Литвинович Г.В. Методы формирования алюмооксидных микроструктур для мощных систем электромеханики // *Фундаментальные проблемы радиоэлектронного приборостроения*. – 2014. – Т. 14. – № 3. – С. 170-173.
4. Шиманович Д.Л. Электрохимический синтез свободных двухслойных  $Al_2O_3$ -пластин для СВЧ-систем // *Фундаментальные проблемы радиоэлектронного приборостроения*. – 2013. – Т. 13. – № 3. – С. 182-185.